

京都大学工学部 正員 田村 武

## 1. 序論

土質材料のもっとも大きな特徴として、構造骨格内の間隙水の存在とともに生ずる（過剰）間隙水圧の発生を挙げることができる。とりわけ、飽和粘土のように比較的圧縮性の大きい構造骨格に間隙水が充満している材料では、その変形挙動に与える間隙水圧の影響が著しい。Terzaghi のいわゆる有効応力の原理に従えば、構造骨格の変形は有効応力により表現することができるが、そのとき間隙水圧の意味を十分理解しておく必要がある。本報告は、エネルギー原理の立場から極めて簡単な力学モデルを用いて、間隙水圧の持つ意味について一つの解釈を考えようとするものである。

## 2. 間隙水圧の力学モデル

説明を簡単にするために、図-1(a)のような飽和粘土の供試体( $\varepsilon_2=0$ なる平面ひずみ条件)を考えるが、一般的な境界条件のもとでも議論の本質は同じである。また、間隙水および土粒子自身の圧縮性は無視しうるものとする。これに全応力 $\sigma_1$ ,  $\sigma_3$ が作用したとき、載荷直後( $t=+0$ )および圧密が完了した状態( $t=\infty$ )をそれぞれ図-1(b)および(c)に示す。応力の作用してりより(a)の状態に対して、(b)では瞬時の非排水変形および間隙水圧が生じており、(c)では圧密過程を経て間隙水圧が完全に消散している。図-1の各状態を説明するために、図-2のような力学モデルを用いる。ここに1-, 3-軸はそれぞれ図-1の応力およびひずみの二方向成分に対応している。図-1(c)のりあり状態を示す点P<sub>c</sub>は、係数E<sub>b</sub>およびE<sub>3</sub>をもつばねにより各軸に平行な反力を受ける。容易にわかるように、Poisson比などによる各軸方向の相互作用がなければ（たとえばPoisson比=0とすれば）、図-1(c)の状態は図-2により表現される。このときのりありの位置P<sub>c</sub>は式(1)により求められる。一方、図-1(b)の状態を記述するためには、図-3のように等体積条件を表わす直線に点P<sub>b</sub>を拘束しておかねばならない。このとき、点P<sub>b</sub>と直線との間にさしつがなれるとすると、点P<sub>b</sub>は直線に垂直な拘束力 $\lambda$ を受ける。この各軸方向成分を入とすると、りあり点P<sub>b</sub>は式(2)により求めることができる。この式から、拘束力 $\lambda$ は図-1(b)に発生している間隙水圧を表わしていることが理解される。図-3の状態は、図-2の状態を基準にして眺めると非常に簡略化される。すなはち、式(3)なる変数を定義して式(1)と(2)を比較すれば式(4)を得るが、これは図-4のりあり点P<sub>b</sub>を求める方程式である。ここでは外力 $\sigma_1$ ,  $\sigma_3$ は存在せず、図-1(c)からみたときの体積ひずみの差 $\theta = -(\varepsilon_b + \varepsilon_c)$ による拘束力 $\lambda$ だけが作用している。

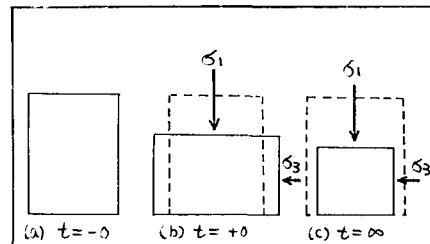


図-1

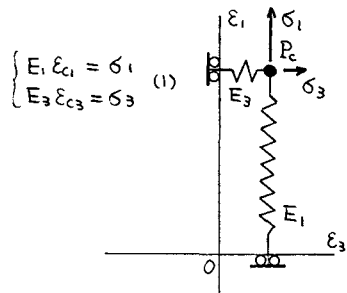


図-2

$$\begin{cases} E_1 \varepsilon_{b1} = \sigma_1 \\ E_3 \varepsilon_{b3} = \sigma_3 \end{cases} \quad (1)$$

$$\varepsilon_{b1} + \varepsilon_{b3} = 0 \quad (2)$$

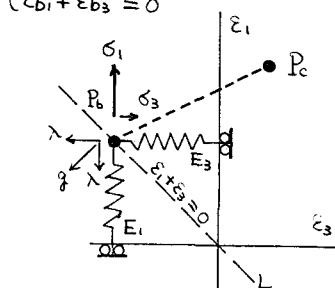


図-3

$$\begin{cases} \varepsilon_1 = \varepsilon_{b1} - \varepsilon_{c1} \\ \varepsilon_3 = \varepsilon_{b3} - \varepsilon_{c3} \end{cases} \quad (3)$$

### 3. エネルギー原理によるモデルの解釈

式(4)のもつ意味をエネルギー原理の立場から考察し、その考え方を一般化する。まず、

$$F(\varepsilon_1, \varepsilon_3, \lambda) = \frac{1}{2} (E_1 \varepsilon_1^2 + E_3 \varepsilon_3^2) - \lambda \{ (\varepsilon_1 + \varepsilon_3) + \theta \} \quad (5)$$

なる関数を導入すれば、これの  $\varepsilon_1, \varepsilon_3$  および入力による偏導関数がそれぞれ式(4)の各式に相当していることがわかる。ところで式(5)の関数  $F(\varepsilon_1, \varepsilon_3, \lambda)$  の第一項および第二項はそれぞれ、系のひずみエネルギーと拘束条件：

$$E = \frac{1}{2} (E_1 \varepsilon_1^2 + E_3 \varepsilon_3^2) \quad (6) \quad \varepsilon_1 + \varepsilon_3 = -\theta \quad (7)$$

からなり、拘束力の成分入は Lagrange 級数とみなすことができる。すなやち、図-4の通りあり真  $P_b$  は、直線 L 上で真  $P_c$  の状態からもっともひずみエネルギー E の小さい位置を止めることができ。式(6)のひずみエネルギー E は、真  $P_c$  を中心とする構円の上で一定となることより、構円を徐々に大きくしていくとき初めて直線 L と接する真が L となる（図-5 参照）。

このとき、拘束力（剛性木圧）  $\lambda = -E_1 \varepsilon_1 - E_3 \varepsilon_3$  の大きさは、 $P_c P_b$  に対する構円の共役軸 ( $P_b$  における構円の接線に平行な半径) を  $P_c P'_b$  とすると

$$|\lambda| = \sqrt{E_1 E_3} \cdot \overline{P_c P'_b} \quad (8)$$

となることも示される。

供試体の応力 - ひずみ関係を一般にすると、最終真足を基準にしたときの等ひずみエネルギー線を表わす構円の形状が変わり、また主軸も回転するが、この場合も上で述べたことと同様な結果を得る（図-6 参照）。ここでは構造骨格に弾性モデルを仮定して説明しているが、剛性木の圧縮性を無視する限り土の議論は一般に成立する。すなやち、どんな非線形応力 - ひずみ関係ももつ飽和粘土であっても、載荷した瞬間にいわゆる接線弾性係数を用いればよい。もちろんこの場合、非排水条件下であっても剛性木圧が変化するかも知れないが、それは構造骨格の弾性による時間的な接線弾性係数の変化のため、図-6 の構円の形状が変わることと潜在的な最終真足の移動の結果として説明することができる。このモデルにより圧密現象を解釈するならば、Darcy の法則に従う剛性木の流れによる構造骨格の体積変化のため、拘束条件を表わす直線しが最終的な真足  $P_c$  に向かって移動し、ひずみエネルギーが解放されていく過程と考えることができる。なお、このとき L の移動は向きを変えず平行に移動する。

以上まとめると、飽和粘土に発生している剛性木圧とは、その瞬間に構造骨格のもつ接線弾性係数より定まる最終真足へ向かって移動しようとする真足  $P_b$  が、体積ひずみの拘束を表わすまっのない直線から受ける拘束力として定義することができる。

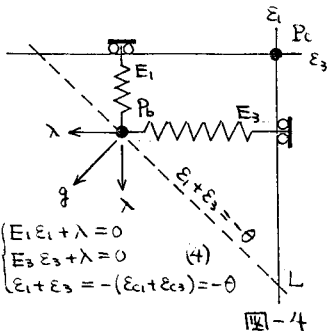


図-4

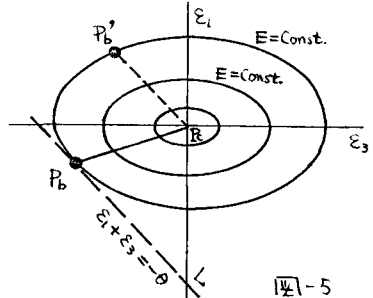


図-5

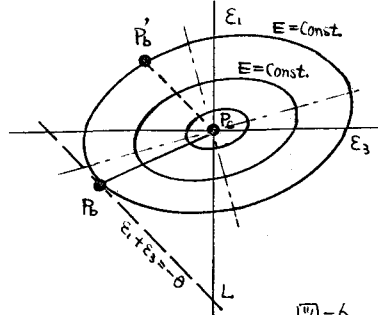


図-6

謝 評 本研究の遂行にあたり御指導を賜った京都大学工学部 赤井 若一教授に謝意を表します。